

# ساختار موج شوک در دینامیک سیالات

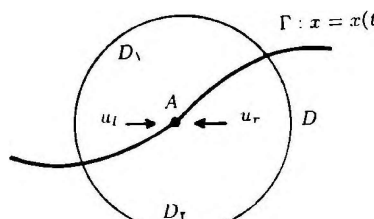
مجید محمودزاده نیکنام

تعریف (جواب ضعیف). فرض کنیم در معادله (۱)، تابع  $(x, t) \rightarrow u$  انتگرالباز (ایگ) باشد. در این صورت تابع انتگرالباز  $u(x, t)$  را یک جواب ضعیف معادله (۱) گوییم هرگاه برای هر تابع  $\phi: \mathbb{R}^+ \rightarrow \mathbb{R}$  با محمل<sup>۱</sup> فشرده داشته باشیم

$$\int \int_{t \geq 0} (\phi_t u + \phi_x f(u)) dx dt + \int_{\mathbb{R}} u_*(x) \phi(x, 0) dx = 0.$$

اولین سؤالی که مطرح می‌شود، ارتباط بین جواب ضعیف و جواب کلاسیک معادله (۱) است. در واقع اگر معادله (۱) دارای جوابی کلاسیک باشد، آن جواب یک جواب ضعیف نیز خواهد بود. بر عکس اگر تابع  $u(x, t)$  یک تابع  $C^1$  باشد و تابع  $C^1$  مانند  $u(x, t)$  یک جواب ضعیف معادله (۱) باشد، آنگاه  $u(x, t)$  یک جواب کلاسیک آن معادله نیز هست. برای ملاحظه اثبات به [۲۰، صص ۲۴۶-۲۴۷] رجوع کنید. بر این اساس، می‌توان جواب ضعیف را تعیین طبیعی جواب کلاسیک تصور کرد. (به تابلو صفحه بعد نگاه کنید).

دومین سؤالی که می‌توان مطرح کرد، این است که جوابهای ضعیف چگونه‌اند و یا چه خصوصیاتی دارند؟ در پاسخ به این سؤال، در مورد برخی جوابهای ضعیف که روی خمها نایپوسنگی جهشی دارند مطالعه زیر را می‌توان ذکر کرد. فرض کنیم  $u(x, t)$  یک جواب ضعیف معادله (۱) باشد که در یک گوی  $D$  حول نقطه  $A = (x_0, t_0) \in \mathbb{R} \times \mathbb{R}^+$  تعریف شده است. همچنین فرض کنیم خم هموار  $\Gamma$  در صفحه  $x-t$  به معادله  $x = x(t)$  که از نقطه  $A$  می‌گذرد، این گوی را به دو ناحیه ساده-همبند مانند  $D_1$  و  $D_2$  تقسیم کند و تابع  $u(x, t)$  در هر یک از دو ناحیه  $D_1$  و  $D_2$  جواب کلاسیک معادله (۱) بوده روی خم  $\Gamma$  دارای نایپوسنگی جهشی باشد (شکل ۱)



شکل ۱

بین فیزیک و ریاضیات از دیر باز پیوندهای مختلفی وجود داشته است و این دو علم تأثیرات بسیار در یکدیگر گذشتند. مثلاً سریهای فوریه، نظریه نوزیع برای حل معادلات دیفرانسیل جزئی، و ... ابتدا در قالب فیزیکی مطرح شده‌اند و سپس به صورت دقیق ریاضی بیان گشته‌اند.

بررسی پدیده شوک نیز از همین موارد است. این پدیده در فیزیک به وجود کمیانی که تغییرات ناگهانی دارند وابسته است. مثلاً وقوع انفجار یک نوع شوک است. بررسی شوک و یا به عبارت دیگر بررسی کمیات نایپوسنی در فیزیک، در مباحث مختلفی مطرح می‌شود. یکی از این مباحث دینامیک گازهاست. بررسی گازها در میدان‌های مغناطیسی در حضور میدان الکتریکی خارجی، به اختصار MHD<sup>۲</sup> یا MHD<sup>۳</sup> نامیده می‌شود.

در این مقاله می‌خواهیم به طور کالی درباره جنبه ریاضی «وجود ساختار برای موج شوک» و به طور اخص درباره «وجود ساختار برای موج شوک در محیط MFD» بحث کنیم.

## ۱. مفهوم شرط «وجود ساختار برای موج شوک»

معادله دیفرانسیل جزئی زیر را در نظر می‌گیریم

$$\begin{cases} u_t + (f(u))_x = 0 \\ (x, t) \in \mathbb{R} \times \mathbb{R}^+ \\ u(x, 0) = u_*(x) \end{cases} \quad (1)$$

که در آن  $u(x, t)$  تابع مجهول معادله است،  $u_t$  یعنی  $\frac{\partial u}{\partial t}$ ، و  $u(x, t) \in \mathbb{R}^n$  شرط آغازی است. در معادله (۱) دارای  $f: \Omega \rightarrow \mathbb{R}^n$  از  $\mathbb{R}^n$  و به ازای زیرمجموعه باز  $\Omega$  از  $\mathbb{R}^n$  است و  $f$  یک تابع  $C^1$  است و  $\Omega \subset \mathbb{R}^n$  دارای انتگرال ایگ می‌باشد. این نوع معادلات در فیزیک از قوانین بقا نتیجه می‌شوند و عموماً تابع فیزیکی جواب آنها دارای نایپوسنگی‌های ذاتی هستند. این امر باعث می‌شود که در حالت کلی، معادله (۱) جواب کلاسیک (مشتق‌دیر) نداشته باشد. به همین دلیل برای آن، جواب ضعیف تعریف می‌شود

۱. مخفف magnetohydrodynamics.  
۲. مخفف magnetofluid dynamics.

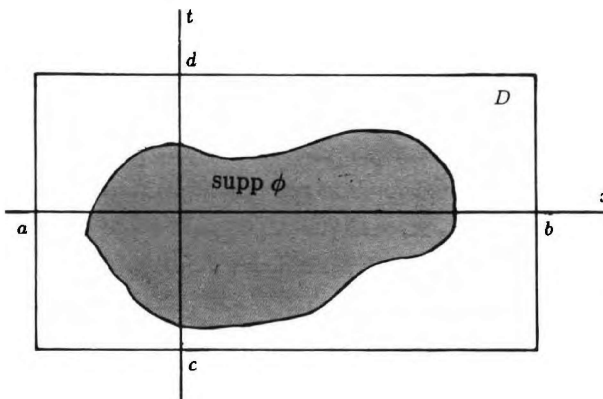
## رابطه جوابهای کلاسیک و جواب ضعیف

فرض کنیم در معادله (۱) تابع  $u(x, t)$  یک جواب کلاسیک (یا مشتقپذیر) باشد. در این صورت داریم

$$\begin{cases} u_t + (f(u))_x = 0 \\ u(x, 0) = u_*(x) \end{cases}$$

همچنین تصور کنیم که  $\phi : \mathbb{R}^2 \rightarrow R$  تابعی با مجمل منحول در مستطیل  $D = \{(x, t) : a < x < b, c < t < d\}$  باشد.

مholm  $(\text{supp } \phi)$  در شکل دیده می‌شود. داریم



$$\phi u_t + \phi \cdot (f(u))_x = 0$$

پس

$$\int \int_{t \geq 0} (\phi u_t + \phi \cdot (f(u))_x) dA = 0$$

$$\int_a^b \int_c^d (\phi u_t) dt dx + \int_c^d \int_a^b \phi \cdot (f(u))_x dx dt = 0. (*)$$

اکنون با بهکارگیری انتگرالگیری جزء به جزء خواهیم داشت

$$\int_a^b \int_c^d (\phi u_t) dt dx = \int_a^b \left\{ (\phi u)_x^d - \int_c^d \phi_t u dt \right\} dx = - \int_a^b \int_c^d \phi_t u dt dx$$

$$- \int_a^b \phi(x, 0) u(x, 0) dx = - \int \int_{t \geq 0} (\phi_t u) dt dx - \int_{\mathbb{R}} u_*(x) \phi(x, 0) dx$$

و نیز

$$\begin{aligned} \int_c^d \int_a^b \phi \cdot (f(u))_x dx dt &= \int_c^d \left\{ (\phi f(u))_x^b - \int_a^b \phi_x f(u) dx \right\} dt \\ &= - \int_c^d \int_a^b \phi_x f(u) dx dt = - \int \int_{t \geq 0} \phi_x f(u) dx dt \end{aligned}$$

با استفاده از (\*) و دو رابطه فوق نتیجه می‌شود که

$$- \int \int_{t \geq 0} (\phi_t u) dt dx - \int_{\mathbb{R}} \phi(x, 0) u_*(x) dx - \int \int_{t \geq 0} (\phi_x f(u)) dx dt = 0$$

که از آن به سادگی نتیجه می‌گیریم

$$\int \int_{t \geq 0} (u_t \phi + \phi_x f(u)) dx dt + \int_{\mathbb{R}} \phi(x, 0) u_*(x) dx = 0$$

در واقع هر جواب کلاسیک معادله (۱)، در رابطه مطرح شده در تعریف جواب ضعیف، برای هر  $\phi$  با مholm فترده، صدق می‌کند.

اکنون در صورت وجود مدار متصل‌کننده فوق گوییم موج شوک دارای ساختار است و در غیر این صورت گوییم موج شوک ساختار نمی‌پذیرد. برای برسی پیشتر دلایل فیزیکی وقوع موج شوک در صورت وجود ساختار برای آن، به [۲۰، فصل ۱۵، بخش ۶] رجوع نمایید.

پس از مطرح شدن شرط «وجود ساختار برای موج شوک» شناسایی وجود با عدم وجود مدارهای متصل‌کننده برای دستگاه معادلات دیفرانسیل عادی ضروری شد. کانلی در دهه ۱۹۷۰ نظریه «مجموعه‌های ناوردای منزوی»<sup>۱</sup> و شاخص تعمیم‌بافتۀ مرس<sup>۲</sup> برای آنها را مطرح ساخت. این شاخص که تعمیم طبیعی شاخص مرس بود به نام خود او یعنی شاخص کانلی نام‌گذاری شده است. پس از طرح شاخص کانلی، یکی از روش‌های رایج و قوی برای اثبات وجود مدارهای متصل‌کننده به دست آمد. در زیر خلاصه‌ای از مطالعه مربوط به شاخص کانلی را بیان می‌کنیم.

## ۲. شاخص کانلی

(دستگاه) معادله‌های دیفرانسیل زیر را در نظر می‌گیریم

$$\begin{aligned} \dot{x} &= f(x), \quad x \in \mathbb{R}^n \\ f : \Omega &\subset \mathbb{R}^n \rightarrow \mathbb{R}^n, f \in C^1(\Omega) \end{aligned} \quad (4)$$

که در اینجا  $\mathbb{R}$  زیرمجموعه‌ای باز از  $\mathbb{R}^n$  است.

طبق قضایای بنیادی معادلات دیفرانسیل، برای  $x \in \Omega$  داده شده، بازه (باز) ماکسیمال  $D_x$  در  $\mathbb{R}$  وجود دارد که بر آن بازه، جوابی جون  $D_r \rightarrow \Omega$  :  $\phi$  با شرط آغازی  $x = \phi(0)$  تعریف شده است. در این نوشته،  $(t)$  را به  $x.t$  نمایش می‌دهیم و نیز به ازای  $J \subset D_x$ ، از نماد  $J$  برای نمایش مجموعه  $\{x.t | t \in J\}$  استفاده می‌کنیم. منظور از مدار  $x$ ، که به  $O(x)$  نمایش داده می‌شود، مجموعه  $x.D_x$  است. این مدار را کامل می‌نامیم در صورتی که  $D_x = \mathbb{R}$ .

تعریف (همسایگی منزوی‌ساز)<sup>۳</sup>. فرض کنیم  $N$  بستانار یک مجموعه باز در  $\mathbb{R}^n$  است و برای هر  $P \in \partial N$ ، این متعلق به  $\mathbb{R}$  یافت می‌شود که آنگاه  $N$  را یک همسایگی منزوی‌ساز برای (۴) می‌نامیم.

تعریف (باوک منزوی‌ساز)<sup>۴</sup>. فرض کنیم  $B$  بستانار یک مجموعه باز در  $\mathbb{R}^n$  باشد و برای هر  $P \in \partial B$ ،  $\epsilon$  مثبتی یافت شود که داشته باشند، باشد  $P.(\epsilon, \epsilon) \cap B = \phi$  یا  $P.(-\epsilon, \epsilon) \cap B = \phi$ . در این صورت  $B$  یک باوک منزوی‌ساز برای معادله (۴) می‌نامیم اگر  $B$  یک باوک منزوی‌ساز باشد منظور از مجموعه خروجی آن مجموعه زیر است که آن را با  $b^+$  نمایش می‌دهیم

$$b^+ = \{P \in \partial B | \exists \epsilon > 0 : P.(\epsilon, \epsilon) \cap B = \phi\}$$

مثال. فرض کنیم در شکل (۲)، خمها نمایانگر مدارهای یک دستگاه معادلات

آنچه  $\Gamma$  تحت شرایط فوق می‌تواند هر  $\Gamma$  همواری باشد؟ باسخ منفی است.

$$u_r = \lim_{x \rightarrow x(t)^+} u(x, t) \quad \text{and} \quad u_l = \lim_{x \rightarrow x(t)^-} u(x, t) \quad (5)$$

آنگاه باید داشته باشیم

$$s(u_l - u_r) = f(u_l) - f(u_r) \quad (6)$$

در اثبات لزوم برقراری تساوی (۶) که به «شرط پرش»<sup>۵</sup> معروف است، از قضیه گرین در صفحه اسفاده شده است. این اثبات را می‌توانید در [۲۰، ۲۴۷] ببینید. تساوی (۶) در دینامیک گازها یک شرط کلاسیک است

و شرط رنکن-هوگوئی<sup>۶</sup> نامیده می‌شود

سؤال دیگری نیز در اینجا مطرح می‌شود: «آیا جوابهای ضعیف در حالت کلی یکتا هستند؟» باسخ این سوال منفی است. بنابراین تشخیص جواب فیزیکی در حالت کلی با یافتن جوابهای ضعیف امکان‌پذیر نیست. اذا لازم است ضابطه‌ای برای یافتن جواب فیزیکی در میان جوابهای ضعیف ارائه شود. برگر<sup>۷</sup> در سال ۱۹۴۰ معادله  $u_t + uu_x = 0$  را در ارتباط با مسئله تلاطم<sup>۸</sup> به دست آورد. بعد از این معادله به نام خود امروز شد. برای بررسی معادله برگر، هویف برای اوین بار در سال ۱۹۵۰ معادله  $u_t + uu_x = \mu u_{xx}$  را در نظر گرفت.  $\mu$  در اینجا ضریب چسبندگی نامیده می‌شود. او سعی کرد جوابهای معادله برگر را به عنوان حد جوابهای معادله فوق هنگامی که  $\mu \rightarrow 0$  بررسی کند. این روش بعدها به «روش چسبندگی» معروف گشت. در سال ۱۹۵۹ گفاند در مقاله مهم خود [۱۰] این روش را به طور کامل مورد بحث قرار داد و پایه‌های ریاضی آن را محکم ساخت. در سالهای ۱۹۷۲-۱۹۷۳ کانلی و اسولوار در پنج مقاله مشترک خود [۷-۳] درباره استفاده از این روش و توسعه آن به محیط‌های مختلف فیزیکی مطالعی بیان کردند. در نهایت، روش چسبندگی با به کارگیری برخی تقریب‌های فیزیکی به پیدایش شرط «وجود ساختار برای موج شوک» منجر شد. برقراری این شرط، تضمین‌کننده وقوع فیزیکی شوک خواهد بود.

در محیط فیزیکی خاصی که معادله (۱) مدل آن است، اثر پارامترهای چسبندگی یا لزجی در قالب ماتریسی مانند  $B$  در معادله دیفرانسیل عادی زیر ظاهر می‌شود

$$B \frac{dv}{dt} = f(v) - f(u_r) - s(v - u_r) \quad v \in \Omega \subset \mathbb{R}^n \quad (7)$$

حال برای وقوع فیزیکی شوک در نقطه  $A$  در شکل (۱) کافی است که معادله (۳) دارای یک مدار متصل‌کننده از نقطه ساکن  $u_r$  به نقطه ساکن  $u_l$  باشد [۲۰]. توجه می‌کنیم که  $u_r$  و  $u_l$  نقاط ساکن معادله (۳) هستند یعنی طرف راست معادله به ازای این مقادیر  $v$  صفر می‌شود. این مطلب برای  $v = u_l$  واضح است و برای  $v = u_r$  از این فرض که جواب (۷) در شرط پرش (۶) صدق می‌کند، نتیجه می‌گردد از طرفی مدار متصل‌کننده برای معادله (۳) از نقطه  $u_r$  به  $u_l$  به معنی تابعی مانند  $x(t)$  است که در معادله (۳) صدق کند و حدود زیر نیز برقرار باشند

$$\lim_{t \rightarrow -\infty} v(t) = u_l \quad \& \quad \lim_{t \rightarrow +\infty} v(t) = u_r$$

1. isolated invariant sets      2. Morse index  
3. isolating neighbourhood      4. isolating block

1. jump condition      2. Rankine-Hugoniot      3. J. Burgers  
4. turbulence

تعریف (مجموعه ناوردای منزوی). مجموعه ناوردای  $I$  را منزوی می‌نامیم هرگاه در یک همسایگی منزوی‌ساز خود، ماکسیمال باشد. بهبیان دیگر، باید همسایگی منزوی‌ساز  $N$  از  $I$  وجود داشته باشد چنان‌که در  $N$  هیچ زیرمجموعه شامل  $I$  و بزرگتر از آن ناوردا نباشد.

مثال. در شکل (۳)، در قسمت (الف)،  $\{^0\}$  یک مجموعه ناوردای منزوی است در قسمت (ب)، مجموعه  $\{^0\}$  ناوردا هست ولی ناوردای منزوی نیست.

تعریف (شاخص کانلی). فرض کنیم  $I$  یک مجموعه ناوردای منزوی و  $B$  یک بلوك منزوی‌ساز آن برای معادله (۴) باشد. آنگاه اگر  $b^+$  مجموعه خروجی  $B$  باشد، رده هوموتوبی فضای خارج قسمت  $\frac{B}{b^+}$  را که به  $[^0]$  شان می‌دهیم، شاخص کانلی  $I$  می‌نامیم و آن را به  $(I)$  نمایش می‌دهیم.

برای مطالعه بیشتر در زمینه فضای خارج قسمت و رده هوموتوبی نضاهاي توپولوژیک بهتر تیپ به [۱۷، بخش ۱۱.۲] و به [۲۵، بخش ۳.۱۲] رجوع کنید. در ضمن اگر  $X$  یک فضای توپولوژیک باشد رده هوموتوبی فضای خارج قسمت  $\frac{X}{\bar{0}}$  را به  $\bar{0}$  نمایش می‌دهیم در اینجا باید توجه کنید که هرجند شاخص کانلی به مجموعه ناوردای منزوی  $I$  نسبت داده می‌شود، ولی محاسبه آن از طریق یک بلوك منزوی‌ساز حول  $I$  صورت می‌گیرد. از طرفی هر مجموعه ناوردای منزوی دارای بینهایت بلوك منزوی‌ساز است، در نتیجه باید عدم وابستگی شاخص کانلی به انتخاب بلوك منزوی‌ساز اثبات گردد. برای ملاحظه اثبات این مطلب به [۲۰، ص ۴۷۵]، قضیه [۲۹.۲۲] رجوع کنید. همچنین می‌توان شان داد برای هر مجموعه ناوردای منزوی و هر همسایگی منزوی‌ساز آن، یک بلوك منزوی‌ساز حول مجموعه ناوردا و در واقع در همسایگی منزوی‌ساز داده شده وجود دارد [۲۰].

مثال. معادله  $2x = \dot{x}$  را در  $\mathbb{R}$  در نظر می‌گیریم. در اینجا می‌توان مجموعه ناوردای منزوی  $\{^0\}$ ، بلوك منزوی‌ساز  $[-1, 1]$  و  $B = \{ -1, 1 \}$  و مجموعه خروجی آن  $\{-1, 1\}$  را در نظر گرفت. شاخص کانلی  $I$  یعنی  $(I)$  در اینجا همان رده هوموتوبی فضای خارج قسمت  $S^1$  بر یک نقطه آن است که آن را به  $\Sigma$  نمایش می‌دهند.

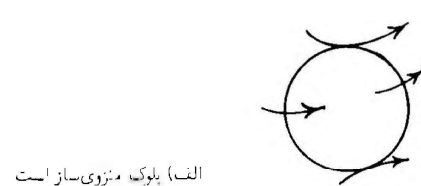
همچنین اگر معادله  $\dot{x} = x$  را در نظر بگیریم آنگاه برای  $\{^0\} = I$  و  $B = [-1, 1]$  و  $\{1\} = B^+$  خواهیم داشت  $\bar{0}$ .

تعریف (معادله شبکه‌گردیان).<sup>۱</sup> معادله (۴) را روی زیرمجموعه باز  $U$  از  $\Omega$  نسبت به تابع پیوسته  $U \rightarrow \mathbb{R}$  به  $g$  نمایه‌گردیان می‌نامیم هرگاه  $g$  روی مدارهای غیرتابت معادله (۴) واقع در  $U$  اکیداً صعودی باشد.

این نامگذاری از رفتار میدان‌گردیان سرچشمه‌می‌گیرد. هرگاه  $f: U \rightarrow \mathbb{R}$  تابعی هموار باشد، معادله دیفرانسیل  $f = \text{grad}f$  را در نظر بگیرید. اگر  $x(t)$  یک جواب این معادله باشد، بنابراین قاعده زنجیری داریم

$$\frac{d(f(x(t)))}{dt} = |\text{grad}f(x(t))|^2$$

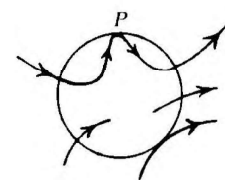
که چنانچه  $x(t)$  یک جواب تابت نباشد، همواره مثبت است یعنی تابع  $f$  در طول جوابهای غیرتابت، اکیداً صعودی است.



(الف) بلوك منزوی‌ساز است



(ب) همسایگی منزوی‌ساز نیست

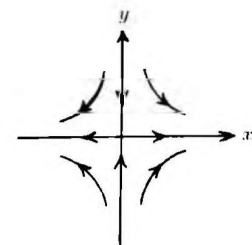


(ب) همسایگی منزوی‌ساز است

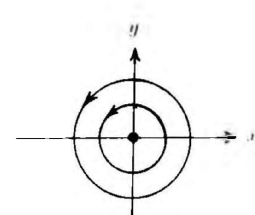
شکل ۲

دیفرانسیل در صفحه باشند. در این صورت، گوی شکل (ب) یک همسایگی منزوی‌ساز است ولی یک بلوك منزوی‌ساز نیست. این امر به جهت وجود نقطه  $P$  روی مرزگوی است. گوی شکل (ب) یک همسایگی منزوی‌ساز نیست، و این هم به خاطر وجود نقطه  $P$  است. همچنین گوی شکل (الف) یک بلوك منزوی‌ساز و در نتیجه یک همسایگی منزوی‌ساز خواهد بود.

تعریف (مجموعه ناوردا).<sup>۲</sup>  $\Omega \subset I$  را برای معادله (۴) ناوردا می‌نامیم هرگاه اجتماعی از مدارهای کامل معادله باشد.



(الف) ناوردای منزوی است



(ب) ناوردای منزوی نیست

شکل ۳

است، بیان شده است. در زیر به بررسی وجود مدارهای متصل‌کننده بین نقاط ساکن آن می‌پردازیم.  
برای مدل MFD فوق دستگاه مربوط به وجود ساختار موج شوک به صورت زیر است که در [۱۴، بخش ۲] آمده است:

$$\begin{aligned} (\alpha V) \dot{B} &= y \\ (\alpha V) \dot{y} &= \varepsilon + (V - \delta^r) B - \frac{\sigma^{-1}}{\alpha V} y \\ \eta \dot{V} &= \frac{1}{2} B^r + V - J + P(V, T) \\ k \dot{T} &= -\frac{1}{2} (V - \delta^r) B^r - \frac{1}{2} V^r - \varepsilon B + JV + \frac{1}{2} y^r \\ &\quad + e(V, T) - C \end{aligned} \quad (5)$$

در دستگاه فوق،  $(\alpha, \eta, k, \sigma^{-1})$  پارامترهای جنبندگی،  $V$  حجم ویژه،  $T$  درجه حرارت،  $e(V, T)$  و  $P(V, T)$  به ترتیب توابع فشار و انرژی داخلی در مدل فیزیکی هستند.  $B$  نمایانگر شدت میدان مغناطیسی و  $\varepsilon$  معروف شدت میدان الکتریکی خارجی‌ند.  $\delta$  و  $J$  ثابت هستند. البته توابع  $P(V, t)$  و  $e(V, T)$  و تابع دیگری به نام انتروپی  $S(V, T)$  باید در شرایط خاصی صدق کنند.

وجود مدارهای متصل‌کننده بین نقاط ساکن دستگاه (۵) معادل وجود ساختار برای موجههای شوک در مدل MFD فوق است. لذا این قضیه ای در مورد تعداد نقاط ساکن دستگاه (۵) می‌آوریم. نخست تابع

$$V - J + P(V, T_1(V)) = 0$$

$$g(V) = \frac{1}{2} \varepsilon^r (V - \delta^r) + V - J$$

$$\ell(V) = -\frac{1}{2} V^r + (2J + \delta^r) V - J \delta^r$$

$$\varphi(V) = -\frac{1}{2} \varepsilon^r (V - \delta^r)^{-1} + \frac{1}{2} V^r - VJ - e(V, T_1(V))$$

را معرفی می‌کنیم.

در تساویهای فوق توابع  $g$  و  $\ell$  و  $\varphi$  به صورت صریح و تابع  $T_1(V)$  به صورت ضمنی تعریف شده‌اند. حال اگر  $J$  به اندازه کافی بزرگ باشد، معادله  $g(V) = 0$  دارای سه ریشه،  $w_1, w_2, w_3$  است که در نابرابری  $w_1 < w_2 < w_3 < \delta^r$  صدق می‌کنند. حال می‌توان ثابت کرد:

قضیه. بازی  $J$  که مثبت به اندازه کافی بزرگ،  $\neq 0, \delta^r$  مثبت ثابت، و شرطی مناسب روی  $\varepsilon$ ، بازه‌ای وجود دارد که اگر  $C$  در آن بازه باشد، آنگاه دستگاه (۵) چهار نقطه ساکن دارد.

اثبات در [۱۶، صص ۴۱ و ۴۸] آمده است.

بس برای  $\varepsilon > 0$  تحت شرایط فوق، دستگاه (۵) دارای چهار نقطه ساکن است اگر  $u_i = (B_i, y_i, V_i, T_i)$  متصول‌کننده بین  $w_1$  و  $w_3$  باشد و وجود مدارهای مختلف در مدل MFD فوق است. این موجههای شوک نامهای متفاوتی دارند که در زیر به آنها اشاره می‌کنیم:

(۱) اگر  $w_1 = u_r$  و  $w_3 = u_l$ ، شوک را شوک سریع می‌نامند.

(۲) اگر  $w_2 = u_r$  و  $w_3 = u_l$ ، شوک را شوک کند می‌نامند.

(۳) اگر  $u_r = u_j$  و  $u_l = u_i$ ، بازی  $i = ۱$  یا  $2$  و  $j$  با

۱. fast shock ۲. slow shock

مثال. معادله دیفرانسیل عادی  $x \in \mathbb{R}$  نسبت به تابع  $x = g(x)$  روی  $\mathbb{R}$  شبکه‌گردان است زیرا اگر  $x(t)$  یک جواب غیرثابت معادله فوق باشد (یعنی  $x \neq 0$ ) خواهیم داشت

$$\frac{dg(x(t))}{dt} = 1 \cdot i = x^r > 0.$$

این معادله نسبت به تابع  $\frac{d}{dt} g(x) = g$  حتی گردان است زیرا گردان (مشتق)  $g$  دقیقاً برابر طرف راست معادله است همچنان دستگاه زیر

$$\begin{cases} \dot{x} = y + x^r \\ (x, y) \in \mathbb{R}^2 \\ \dot{y} = -x \end{cases}$$

(اگرچه یک دستگاه گردان نیست) روی  $\mathbb{R}$  نسبت به تابع  $y(t)$  شبکه‌گردان است زیرا اگر  $x(t)$  یک جواب غیرثابت معادله فوق باشد آنگاه

$$\begin{aligned} \frac{dg(x(t), y(t))}{dt} &= 2x \dot{x} + 2y \dot{y} \\ &= 2x(y + x^r) + 2y(-x) = 2x^r > 0. \end{aligned}$$

در زیر قضیه مهمی مطرح می‌کنیم که در اثبات وجود مدارهای متصل‌کننده از آن بهره می‌گیرند.

قضیه اصلی (وجود مدار متصل‌کننده). فرض کنیم  $\Omega \subset N$  یک همسایگی منزوی سار برای معادله (۴) باشد و معادله (۴) روی آن نسبت به تابع پوسه و شبکه‌گردان باشد. همچنین فرض کنیم  $N$  دفعه‌ای شامل دو نقطه ساکن  $x$  و  $y$  باشد که حداقل یکی از آنها ماتبهگان است. اگر  $I$  مجموعه ناورای منزوی در  $N$  باشد و  $\bar{I}(I, h)$  آنگاه یک مدار متصل‌کننده بین  $x$  و  $y$  در  $N$  موجود است.

(نقطه ساکن  $x$  را تابه‌گان می‌نامیم هرگاه هیچ یک از مقادیر ویژه بخش خطی معادله حول آن صفر نباشد).

برای ملاحظه اثبات این قضیه به [۲۰، قضیه ۳۳.۲۲] یا [۲] رجوع کنید.

### ۳. مدل‌های فیزیکی

در این قسمت می‌خواهیم به بررسی مدل ریاضی موج شوک در مدل‌های فیزیکی بپردازیم. بررسی رفتار گارها در میدانهای مغناطیسی اوایل بار توسط زرن ریاضیدان فرانسوی در سال ۱۹۵۹ انجام شد [۱۱]. وی وجود موجهای سریع و کند را تحت شرایطی اثبات نمود. بعد از او به ترتیب در سال ۱۹۶۳ اندرسون در [۱] و در سال ۱۹۶۵ کولایکوفسکی و لیویسوف در [۱۶] و در سال ۱۹۷۴ کالنی و اسپولر در [۸] و [۹] [۶] مطالعی را در زمینه MFD مطرح کردند. نهایتاً در سال ۱۹۸۲ حصارکی در ترکیبی خود بحث کاملاً در زمینه ساختار برای موجههای شوک در MFD مطرح کرد و مسائل باقیمانده در این زمینه در یک مدل خاص را حل نمود که در سال ۱۹۸۴ در [۱۴] به چاپ رسید.

حال می‌خواهیم یک مدل ریاضی دینامیک سیالات در میدانهای مغناطیسی را بررسی کنیم. در واقع مسئله ریاضی مربوط به وجود ساختار موج شوک در مدلی از دو سیال در یک میدان مغناطیسی، به صورت یک دستگاه معادله دیفرانسیل چهارم‌وای که به چهار پارامتر چسبندگی وابسته

معادلات و نیز از نظر رتبه با دستگاه (۵) متفاوت‌اند. و لذا اثبات وجود موج شوک در هر مدل فیزیکی موكول به اثبات وجود مدار متصل‌کننده برای دستگاه معادلات مربوطه خواهد بود بهخصوص مسئله وجود ساختار موج شوک در مدهای MFD هرگاه سیال قل از وقوع شوک و بعد از وقوع شوک از فوانین ترمودینامیکی متفاوتی پیروی کند حل نشده باقی‌مانده است. سپاسگزاری. نویسنده مقاله از راهنمایی‌ای آفای دکتر محمود حصارکی کمال تشکر را دارد.

### مراجع

1. J.E. Anderson, *MHD Shock Waves*, MIT Press, Cambridge, Mass (1963).
2. C. Conley, *Isolated Invariant Sets and Morse Index*, Amer. Math. Soc., Providence (1978).
3. C. Conley, and J. Smoller, "Viscosity matrices for two-dimensional nonlinear hyperbolic systems", *Comm. Pure Appl. Math.*, **23** (1970) 867-884.
4. C. Conley, and J. Smoller, "Shock waves as limits of progressive wave solutions of higher-order equations", *Comm. Pure Appl. Math.*, **24** (1971) 459-472.
5. C. Conley, and J. Smoller, "Shock waves as limits of progressive wave solution of higher-order equations, II", *Comm. Pure Appl. Math.*, **25** (1972), 131-146.
6. C. Conley, and J. Smoller, "Viscosity matrices for two-dimensional nonlinear hyperbolic systems, II", *Amer. J. Math.*, **94** (1972) 631-650.
7. C. Conley, and J. Smoller, "Topological methods in the theory of shock waves", *Proc. Sympos. Pure Math.*, **23** (1973) 293-302, Amer. Math. Soc., Providence, R.I.
8. C. Conley, and J. Smoller, "On the structure of magneto hydrodynamic shock waves", *Comm. Pure Appl. Math.*, **28** (1974) 367-375.
9. C. Conley, and J. Smoller, "On the structure of magnetohydrodynamic shock waves, II", *J. Math. Pures et Appl.*, **54** (1975) 429-444.
10. I. Gelfand, "Some problems in the theory of quasilinear equations", *Usp. Mat. Nauk.*, **14** (1959) 87-158; English transl. in *Amer. Math. Soc. Transl. ser. 2* (1963) 295-381.
11. P. Germain, "Contribution à la théorie des ondes de choc en magnéto dynamique des fluides", ONERA publ. No. 97 (1959).
12. P. Germain, "Shock waves, jump relations and structure advances", *Appl. Mechanics*, **12** (1972) 131-194.
13. E. Hopf, "The partial differential equation  $u_t + uu_x = \mu u_{xx}$ ", *Comm. Pure Appl. Math.*, **3** (1950) 201-230.
14. M. Hesaraki, "The structure of shock waves in magnetohydrodynamics", *Memoirs of AMS*, (302) **49** (1984).
15. M. Hesaraki, "The structure of MFD shock waves in a model of two fluids", *Nonlinearity* **6** (1993) 1-24.
16. A. Kulikovskiy, and G. Lyubimov, *Magnetohydrodynamics*, Addison-wesley, Reading (1965).
17. J.R. Munkres, *Topology A First Course*, Prentice-Hall (1975). [ترجمه فارسی: جیمز ر. مانکرس توپولوژی، نخستین درس ترجمه یحیی تابش، ایرانی صالحی، جود لایی، نادر وکیل، تهران، مرکز نشر دانشگاهی، ۱۳۶۶.]
18. R. Peyret, "Sur la structure du choc lent dans un schéma à deux fluides non dissipatif", *C.R. Acad. Sci. Paris*, **258** (1964) 2973-2976.
19. R. Peyret, "Sur la structure du choc lent dans un schéma à deux fluides avec dissipation", *C.R. Acad. Sci. Paris*, **258** (1964) 3178-3181.
20. J.A. Smoller, *Shock Waves and Reaction Diffusion Equations*, Springer-Verlag, New York, Heidelberg, Berlin (1983).
۲۱. م. نیکنام. «اختمان موج شوک در یک مدل فیزیکی خاص». بایان‌نامه کارشناسی ارشد. تربیت مدرس، تهران (۱۳۷۳).

$\mathcal{Z} = \{z \text{ شوکها را شوکهای میانی}\}$  می‌نامند.

پیش در ۱۹۶۴ در [۱۸] و [۱۹] مدل MFD فوق را مطرح نمود و ثابت کرد که اگر  $\delta > k = \eta = \theta$  آنگاه شوکهای سریع و کند دارای ساختار هستند. زمین نیز در سال ۱۹۶۷ در [۱۲] همین مدل را به‌گامی که  $\delta = \theta = \eta = k = 0$  برسی کرد. حصارکی نیز در ۱۹۹۱ در [۱۵] این دستگاه را بررسی کرد و نشان داد که تحت مقادیر مختلف بارامترهای چسبندگی، شوکهای سریع و کند ساختار می‌بنبرند و به علاوه شوکهای میانی به‌طور فیزیکی به موقع نمی‌باشند.

اکنون برای آشنازی خواننده با شیوه به‌کارگیری نظریه کاتانی در اثبات وجود ساختار برای موج شوک در مدل MFD، اشاره‌ای اجمالی به طرح اثبات وجود مدارهای متصل‌کننده بین نقاط ساکن  $u_1$  و  $u_2$  (موج سریع) و  $u_2$  و  $u_1$  (موج کند) می‌کنیم. این اثبات با استفاده از قضیه اصلی مذکور در فوق انجام می‌شود. البته برقراری شرایط قضیه در چهار مرحله به صورت زیر اثبات می‌شود:

(۱) ابتدا ثابت می‌شود که دستگاه (۵) روی

$$D = \{u \in \mathbb{R}^4 : V > 0, T > 0\}$$

شبیه‌گردانی است برای ملاحظه این اثبات به [۱۵]، قضیه [۱.۳] مراجعه کنید. (۲) سپس ثابت می‌شود که نقاط ساکن دستگاه (۵) همگی ناتبیگان هستند: برای ملاحظه اثبات به [۱۵]، قضیه [۵.۲] مراجعه کنید.

(۳) در مرحله بعد ثابت می‌شود که اعداد  $a > 0$  و  $M > 0$  موجودند به‌قسمی که همسایگی منزوی‌ساز برای دستگاه (۵) شامل کلیه نقاط ساکن است. همچنین برای  $c$  ثابت، عدد  $k(c)$  چنان یافت می‌شود که مجموعه‌های

$$N_{0,1} = \{u \in \mathbb{R}^4 : V > 0, T > 0, p(u) < k(c)\} \cap N$$

$$N_{1,2} = \{u \in \mathbb{R}^4 : V > 0, T > 0, P(u) > k(c)\} \cap N$$

هر دو، همسایگی‌های منزوی‌ساز برای دستگاه (۵) هستند و  $N_{0,1}, N_{1,2}, N_{2,3} \subset N_{0,1}$ . برای ملاحظه اثبات به [۱۵]، قضیه [۱.۴] مراجعه نمایید.

(۴) در مرحله آخر، باوجه به سه قسمت فوق واضح است که شرایط قضیه اصلی انتهای بخش دوم این مقاله فراهم‌اند و لذا طبق آن قضیه یک مدار متصل بین  $u_1$  و  $u_2$  (موج سریع) و یک مدار متصل‌کننده بین  $u_2$  و  $u_1$  (موج کند) موجود است.

شامل ذکر است که: (۱) توابع  $(V, T)$  و  $(P(V, T))$  توابع خاصی نستند و ممکن است از یک سیال به سیال دیگر تغییر کنند و فقط برخی از خواص آنها در دست است؛ (۲) بارامترهای چسبندگی  $(\alpha, \eta, k, \sigma, \tau)$  می‌توانند مقادیر متفاوتی اختیار کنند و به خصوص بررسی حدی آنها یعنی بررسی وضعیت آنها در صورت میل کردن به صفر موردنظر است؛ (۳) ناتبیگی  $\sigma$  و  $C$  و شدت میدان الکتریکی،  $\epsilon$ ، قابل تغییر هستند. بررسی تفصیلی این عوامل از خواص این مقاله خارج است.

در حال حاضر تحقیق در زمینه وجود ساختار برای موجهای شوک در مدل‌های مختلف فیزیکی همچنان ادامه دارد. دلیل این امر آن است که در مدهای فیزیکی مختلف، دستگاه‌های دفرانسیل عادی مطروحه از نظر